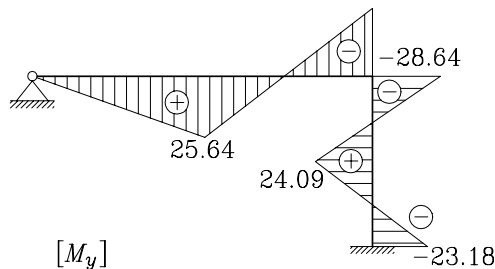


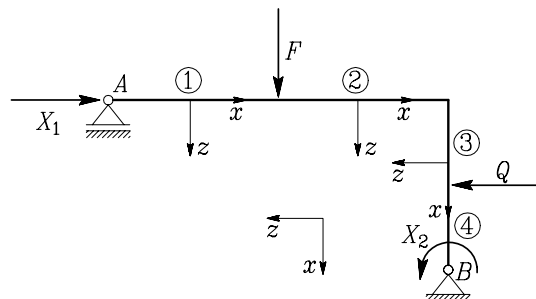
Upogibne momente za statično nedoločeno konstrukcijo prikazujemo na sliki 5.132.



Slika 5.132: Upogibni momenti na statično nedoločeni konstrukciji

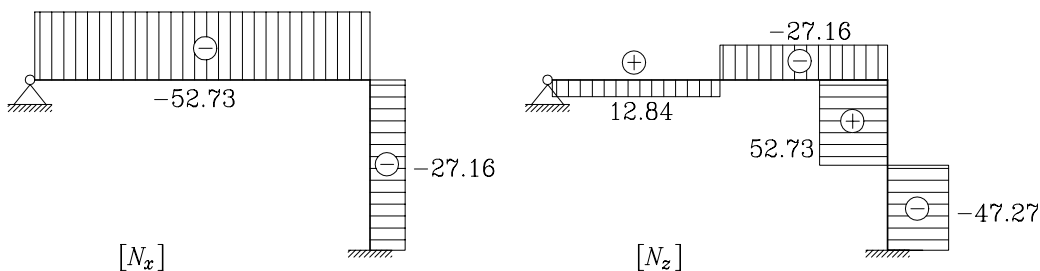
### Račun osnih in prečnih sil

Osne in prečne sile na statično nedoločeni konstrukciji izračunamo tako, da obravnavamo osnovno konstrukcijo, sili  $X_1$  in  $X_2$  pa upoštevamo kot zunanj obtežbo. Da lahko določimo potek osnih in prečnih sil na konstrukciji, moramo elemente konstrukcije razdeliti na polja



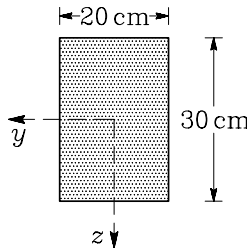
Slika 5.133: Polja za račun notranjih sil

Diagrama osnih in prečnih sil prikazujemo na sliki 5.134.



Slika 5.134: Diagram osnih in prečnih sil na statično nedoločeni konstrukciji

**Primer 5.32** Ugotovimo velikost napake, ki jo naredimo pri nalogi 5.31, ker ne upoštevamo vpliva osnih sil na pomike. Prečni prerez elementov je pravokotne oblike z dimenzijami, podanimi na sliki 5.135.

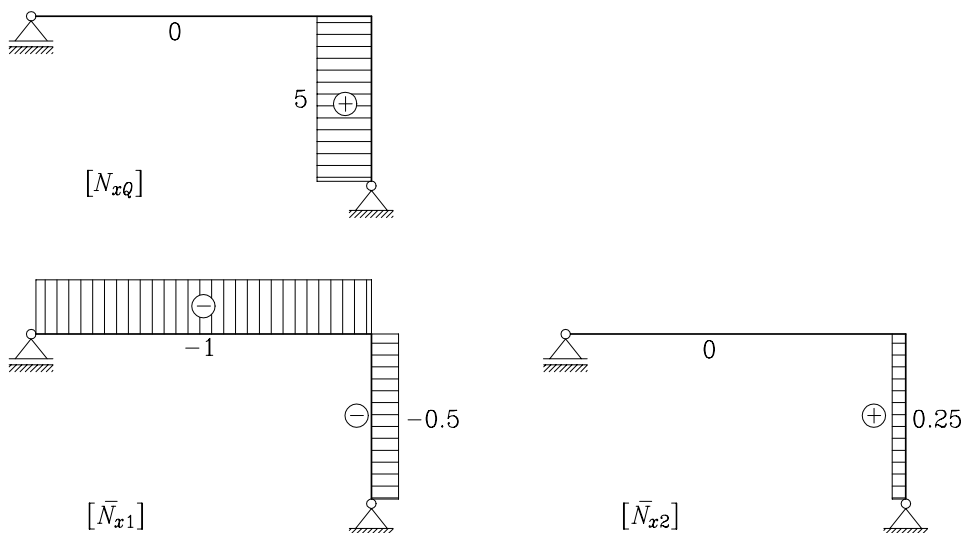


Slika 5.135: Prečni prerez elementov konstrukcije

Razmerje vztrajnostnega momenta  $I_y$  in prečnega prereza  $A_x$  je

$$\frac{I_y}{A_x} = \frac{20 \cdot 30^3}{12 \cdot 20 \cdot 30} = 75 \text{ cm}^2 = 0.0075 \text{ m}^2.$$

Diagrame osnih sil zaradi sil  $F$ ,  $Q$ ,  $X_1 = 1$  in  $X_2 = 1$  podajamo na sliki 5.136.



Slika 5.136: Diagrami osnih sil

Koeficienti  $a_{ij}$  in  $b_i$  zaradi vpliva osnih sil:

$$\begin{aligned} a_{11}(N_x) &= \frac{1}{E A_x} \left( \frac{1}{2}^2 \cdot 2 + 1^2 \cdot 4 \right) = \frac{4.5}{E A_x}, \\ a_{22}(N_x) &= \frac{1}{E A_x} \frac{1}{4}^2 \cdot 2 = \frac{0.125}{E A_x}, \\ a_{12}(N_x) &= -\frac{1}{E A_x} \frac{1}{2} \cdot 2 \cdot \frac{1}{4} = -\frac{0.25}{E A_x}, \\ b_1(N_x) &= -\frac{1}{E A_x} 5 \cdot 2 \cdot \frac{1}{2} = -\frac{5}{E A_x}, \\ b_2(N_x) &= \frac{1}{E A_x} 5 \cdot \frac{1}{4} \cdot 2 = \frac{2.5}{E A_x}. \end{aligned}$$

Koeficienti  $a_{ij}$  in  $b_i$  ob upoštevanju upogibnih momentov in osnih sil so

$$\begin{aligned} E I_y a_{11} &= 8 + 4.5 \frac{I_y}{A_x} = 8.03375, \\ E I_y a_{22} &= \frac{10}{3} + 0.125 \frac{I_y}{A_x} = 3.33427, \\ E I_y a_{12} &= -\frac{14}{3} - 0.25 \frac{I_y}{A_x} = -4.66854, \\ E I_y b_1 &= -530 - 0.25 \frac{I_y}{A_x} = -530.001875, \\ E I_y b_2 &= \frac{970}{3} + 2.5 \frac{I_y}{A_x} = 323.352083. \end{aligned}$$

Kinematična pogoja sta

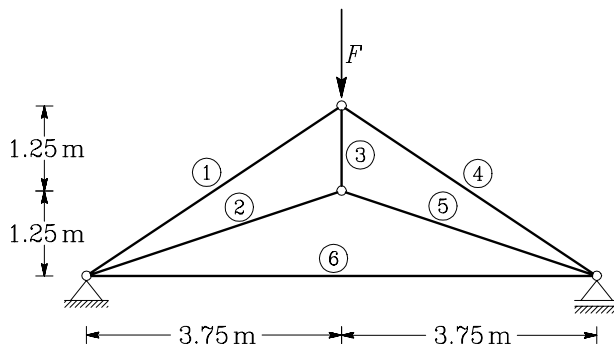
$$\begin{bmatrix} 8.03375 & -4.66854 \\ -4.66854 & 3.33427 \end{bmatrix} \begin{bmatrix} X_1 \\ X_2 \end{bmatrix} = \begin{bmatrix} 530.001875 \\ -323.352083 \end{bmatrix}.$$

Rešitev sistema enačb je

$$\begin{bmatrix} X_1 \\ X_2 \end{bmatrix} = \begin{bmatrix} 51.606 \text{ kN} \\ -24.721 \text{ kNm} \end{bmatrix}.$$

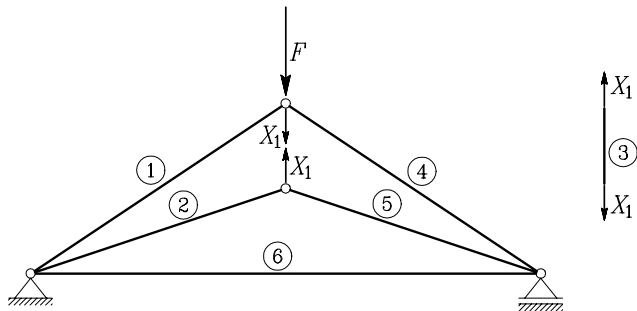
S primerjavo rezultatov naloge 1 in naloge 2, ugotovimo, da je velikost napake zaradi zanemaritve vpliva osnih sil enaka 2.2 % za silo  $X_1$  in 6.2 % za silo  $X_2$ .

**Primer 5.33** Izračunajmo osne sile v palicah na sliki 5.137 prikazanega paličja. Elastični modul  $E$  in ploščina prečnega prereza  $A_x$  sta za vse palice enaka. Paličje je obteženo z eno samo silo  $F = 10 \text{ kN}$ .



Slika 5.137: Statično nedoločeno paličje

Paličje je enkrat statično nedoločeno ( $n = 6 - 2 \cdot 2 - 1 = 1$ ). Na sliki 5.138 prikazujemo osnovno konstrukcijo, ki je izbrana tako, da prerezemo palico 3.



Slika 5.138: Osnovna konstrukcija

Neznano silo dobimo iz kinematičnega pogoja

$$a_{11} X_1 + b_1 = 0.$$

Koefficiente  $a_{11}$  in  $b_1$  določimo po enačbah

$$a_{11} = \sum_{i=1}^6 \int_0^{L_i} \frac{\bar{N}_{xi} \bar{N}_{xi}}{E_i A_{xi}} dx = \sum_{i=1}^6 \frac{\bar{N}_{xi} \bar{N}_{xi} L_i}{E_i A_{xi}}, \quad b_1 = \sum_{i=1}^6 \int_0^{L_i} \frac{\bar{N}_{xi} N_{xQi}}{E_i A_{xi}} dx = \sum_{i=1}^6 \frac{\bar{N}_{xi} N_{xQi} L_i}{E_i A_{xi}},$$

pri čemer smo upoštevali, da se osne sile in prečni prerez vzdolž osi palice ne spremunjata. Če imajo vse palice enak prerez in so iz enakega materiala, se izraza za  $a_{11}$  in  $b_1$  še nekoliko poenostavita

$$a_{11} = \frac{1}{E A_x} \sum_{i=1}^6 \bar{N}_{xi}^2 L_i, \quad b_1 = \frac{1}{E A_x} \sum_{i=1}^6 \bar{N}_{xi} N_{xQi} L_i.$$

Vrednosti  $E A_x a_{11}$  in  $E A_x b_1$  izračunamo v preglednici 5.3.

Tabela 5.3: Račun koeficientov  $a_{11}$  in  $b_1$ 

Palica $i$	$L_i$	$N_{xQi}$	$\bar{N}_{x1i}$	$\bar{N}_{x1i}^2 L_i$	$\bar{N}_{x1i} N_{xQi} L_i$
1	4.507	-9.014	-0.9014	3.662	36.619
2	3.953	0.0	1.581	9.880	0.0
3	1.250	0.0	1.000	1.250	0.0
4	4.507	-9.014	-0.9014	3.662	36.619
5	3.953	0.0	1.581	9.880	0.0
6	7.500	7.50	-0.750	4.219	-42.180
				$EA_x a_{11} = 32.557$	$EA_x b_1 = 31.05$

Neznana sila  $X_1$  je:

$$X_1 = -\frac{b_1}{a_{11}} = -\frac{31.05}{32.55} = -0.9537 \text{ kN.}$$

Sile v palicah izračunamo z upoštevanjem principa superpozicije:  $N_{xi} = N_{xQi} + N_{x1i} X_1$ :

$$N_{x1} = -9.014 - 0.9014 \cdot (-0.9537) = -8.154 \text{ kN,}$$

$$N_{x2} = 0.0 + 1.581 \cdot (-0.9537) = -1.508 \text{ kN,}$$

$$N_{x3} = 0.0 + 1.0 \cdot (-0.9537) = -0.954 \text{ kN,}$$

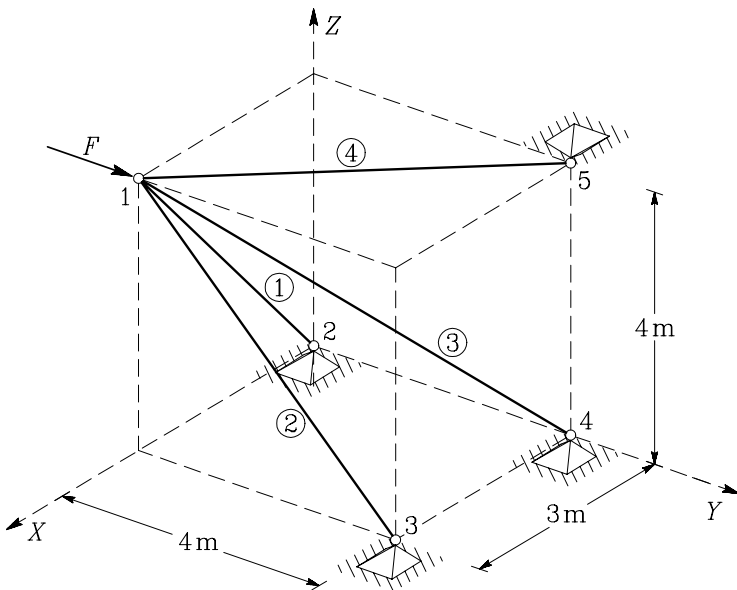
$$N_{x4} = -9.014 - 0.9014 \cdot (-0.9537) = -8.154 \text{ kN,}$$

$$N_{x5} = 0.0 + 1.581 \cdot (-0.9537) = -1.508 \text{ kN,}$$

$$N_{x6} = 7.5 - 0.75 \cdot (-0.9537) = 8.215 \text{ kN.}$$

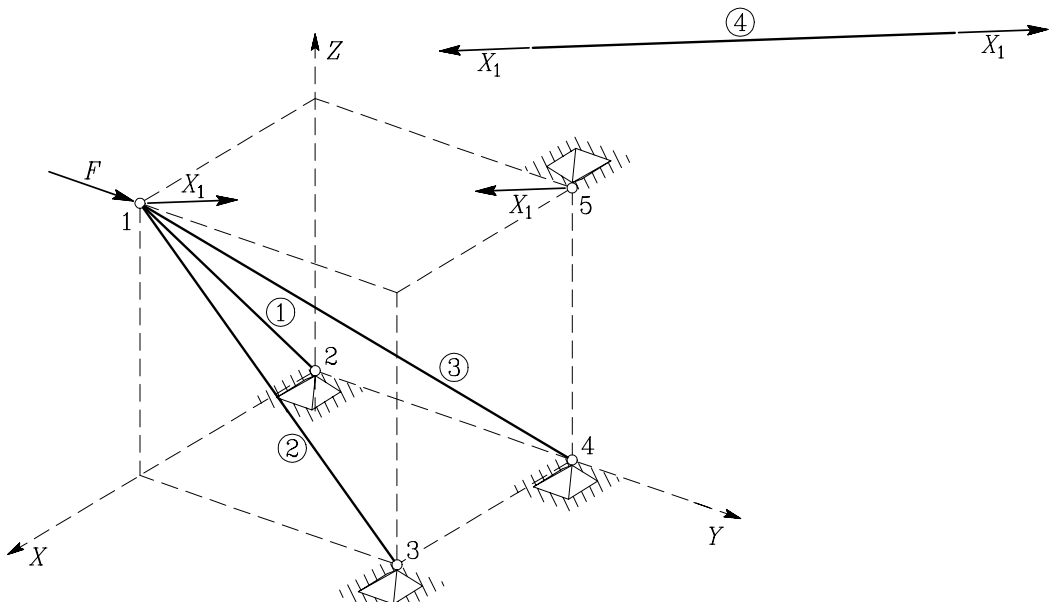
**Primer 5.34** Za paličje na sliki 5.139 določimo sile v palicah! Palice imajo enako ploščino prečnega prereza in so narejene iz materiala z enakim modulom elastičnosti  $E$ . Sila  $F$ , s katero je paličje obteženo, deluje v smeri osi  $y$  in ima velikost  $F = 1 \text{ kN}$ . Koordinate vozlišč so:  $T_1(3, 0, 4)$ ,  $T_2(0, 0, 0)$ ,  $T_3(3, 4, 0)$ ,  $T_4(0, 4, 0)$  in  $T_5(0, 4, 4)$ .





Slika 5.139: Prostorsko paličje je obteženo s silo v smeri osi  $Y$  globalnega koordinatnega sistema

Konstrukcija je enkrat statično nedoločena ( $n = 4 - 3$ ). Osnovno konstrukcijo, ki jo tvorimo tako, da prerezemo palico 4, prikazujemo na sliki 5.140.



Slika 5.140: Osnovna konstrukcija

Silo  $X_1 \equiv N_4$  v palici 4 izračunamo iz kinematičnega pogoja

$$a_{11} X_1 + b_1 = 0.$$

Podobno kot pri prejšnji nalogi koeficiente  $a_{11}$  in  $b_1$  izračunamo po enačbah

$$a_{11} = \frac{1}{E A_x} \sum_{i=1}^4 \bar{N}_{xi}^2 L_i, \quad b_1 = \frac{1}{E A_x} \sum_{i=1}^4 \bar{N}_{xi} N_{xQi} L_i.$$

V preglednici 5.4 izračunamo vrednosti  $E A_x a_{11}$  in  $E A_x b_1$ .

Tabela 5.4: Račun koeficientov  $a_{11}$  in  $b_1$

Palica $i$	$L_i$	$N_{xQi}$	$\bar{N}_{x1i}$	$\bar{N}_{x1i}^2 L_i$	$\bar{N}_{x1i} N_{xQi} L_i$
1	5	5/4	1	5	25/4
2	$4\sqrt{2}$	0	$4\sqrt{2}/5$	$128\sqrt{2}/25$	0
3	$\sqrt{41}$	$-\sqrt{41}/4$	$-2\sqrt{41}/5$	$164\sqrt{41}/25$	$4\sqrt{41}/10$
4	5	0	1	5	0
				$E A_x a_{11} = 59.2453$	$E A_x b_1 = 32.5028$

Sila  $X_1$  je

$$X_1 = -\frac{b_1}{a_{11}} = -0.54861 \text{ kN}.$$

Osne sile v statično nedoločenem paličju izračunamo tako, da na osnovni konstrukciji seštejemo vpliv zunanje obtežbe in sile  $X_1$

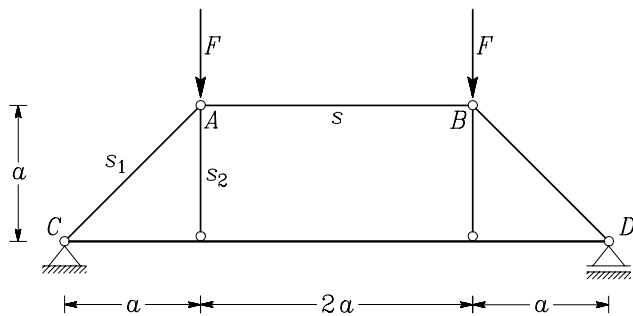
$$N_{x1} = 1.25 + 1 \cdot (-0.54861) = 0.70139 \text{ kN},$$

$$N_{x2} = \frac{4\sqrt{2}}{5} \cdot (-0.54861) = -0.62069 \text{ kN},$$

$$N_{x3} = -\frac{\sqrt{41}}{4} - \frac{2\sqrt{41}}{5} \cdot (-0.54861) = -0.19564 \text{ kN},$$

$$N_{x4} = -0.54861 \text{ kN}.$$

**Primer 5.35** Trapezno vešalo na sliki 5.141 je obteženo z dvema silama velikosti  $F$ . Določimo silo  $S$  v razpori  $AB$ . Velikost sile  $F$  je 100 kN, razdalja  $a$  je 2 m, ploščine prečnih prerezov so:  $A_{s1} = 196 \text{ cm}^2$ ,  $A_{s2} = 144 \text{ cm}^2$ ,  $A_s = 64 \text{ cm}^2$  in  $A_n = 240 \text{ cm}^2$ . Vztrajnostni moment  $I_n$  nosilca je  $8000 \text{ cm}^4$ . Pri računu upoštevajmo tudi vpliv osnih sil na deformacije.

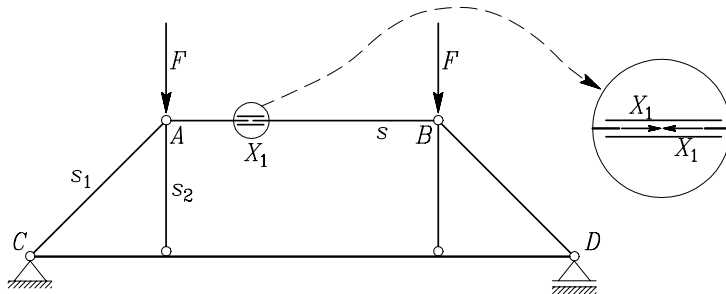


Slika 5.141: Geometrija in obtežba trapeznega vešala

Stopnjo statične nedoločenosti izračunamo z naslednjim izrazom

$$n = 2 + 1 + 2(2 - 1) \cdot 4 + 2(3 - 1) \cdot 2 - 6 \cdot 3 = 1,$$

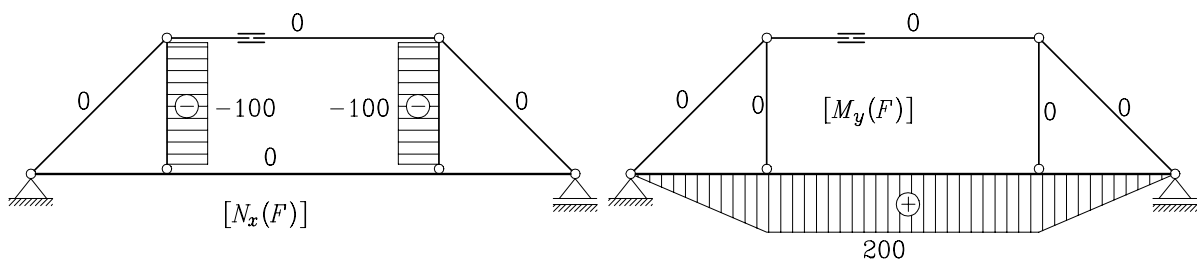
torej je konstrukcija enkrat statično nedoločena. Osnovno konstrukcijo (slika 5.142) izberemo tako, da sprostimo vzdolžni pomik nekje v razpori AB. Neznana sila  $X_1$  je sila v razpori.

Slika 5.142: Za neznano silo  $X_1$  izberemo silo v razpore

Neznano silo  $X_1$  izračunamo iz kinematičnega pogoja

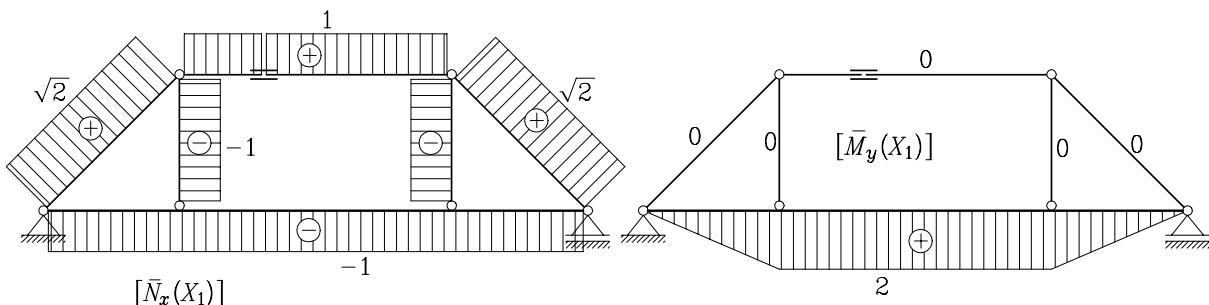
$$a_{11} X_1 + b_1 = 0.$$

Na sliki 5.143 prikazujemo diagram osnih sil in diagram upogibnih momentov na osnovni konstrukciji zaradi sil F.



Slika 5.143: Diagram osnih sil in momentov zaradi zunanje obtežbe

Na sliki 5.144 prikazujemo diagram osnih sil in diagram upogibnih momentov na osnovni konstrukciji zaradi sil  $X_1 = 1$ .

Slika 5.144: Diagram osnih sil in momentov zaradi sile  $X_1 = 1$ 

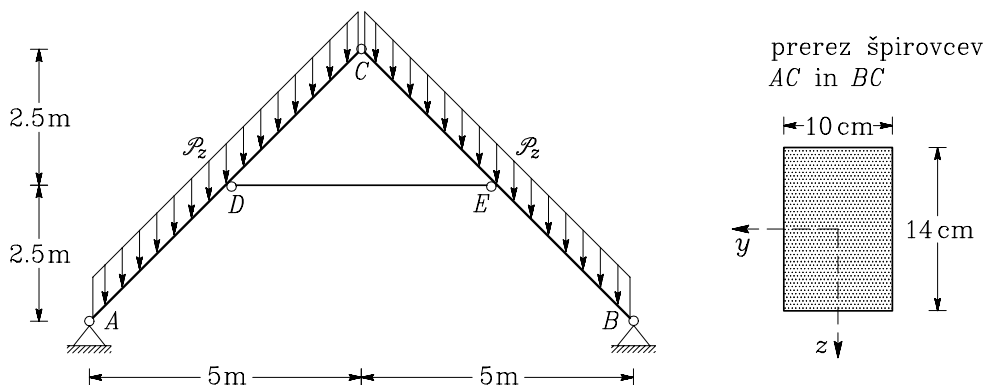
Koeficiente  $a_{11}$  in  $b_1$  izračunamo z naslednjima izrazoma:

$$\begin{aligned} E a_{11} &= \frac{2 \sqrt{2} \cdot \sqrt{2}^2 \cdot \sqrt{2}}{0.0196} \cdot 2 + \frac{2 \cdot 1 \cdot 1}{0.0144} \cdot 2 + \frac{4 \cdot 1 \cdot 1}{0.0064} + \frac{8 \cdot 1 \cdot 1}{0.024} + \\ &+ \frac{1}{0.00008} \left( \frac{2 \cdot 2}{2} \cdot \frac{2}{3} \cdot 2 \cdot 2 + 4 \cdot 2 \cdot 2 \right) = 1813.34 + 266666.67 = 268480.00, \\ E b_1 &= \frac{2 \cdot 100 \cdot 1}{0.0144} \cdot 2 + \frac{1}{0.00008} \left( \frac{2 \cdot 200}{2} \cdot \frac{2}{3} \cdot 2 \cdot 2 + 4 \cdot 200 \cdot 2 \right) \\ &= 27777.78 + 26666666.67 = 26694444.44. \end{aligned}$$

Sila  $X_1$  je enaka sili v razpori  $S$

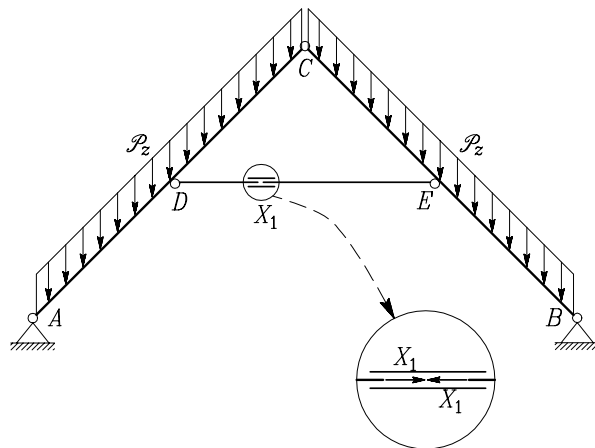
$$X_1 \equiv S = -\frac{b_1}{a_{11}} = -\frac{26694444.44}{268480} = -99.43 \text{ kN}.$$

**Primer 5.36** Določimo diagram upogibnih momentov za trikotno vešalo na sliki 5.145! Velikost konstantne linijske obtežbe  $\mathcal{P}_z$  na enoto dolžine špirovca je 0.8 kN/m. Vpliva osnih sil na deformiranje ne upoštevamo.



Slika 5.145: Trikotno vešalo je obteženo s konstantno linjsko obtežbo

Konstrukcija je enkrat statično nedoločena. Osnovno konstrukcijo izberemo tako, da sprostimo vzdolžni pomik v škarjah  $DE$  (slika 5.146).

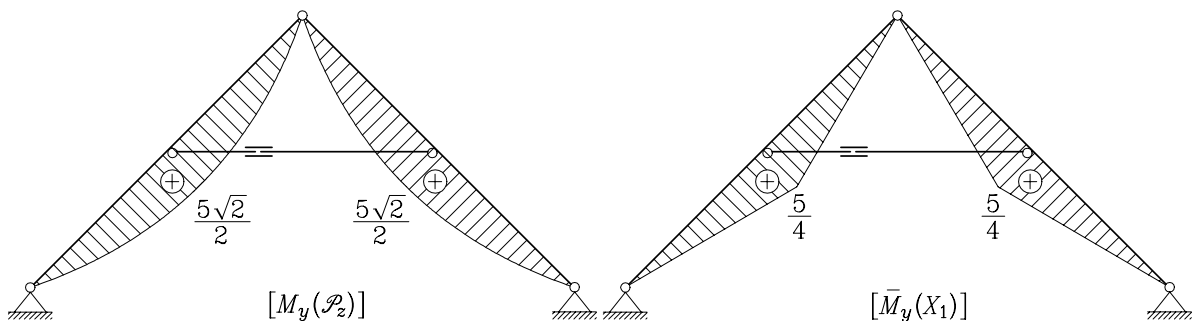


Slika 5.146: Neznana sila  $X_1$  je sila v škarjah  $DE$

Neznano silo  $X_1$  izračunamo iz kinematičnega pogoja

$$a_{11} X_1 + b_1 = 0.$$

Na sliki 5.147 prikazujemo diagrama upogibnih momentov na osnovni konstrukciji zaradi linijske obtežbe  $\mathcal{P}_z$  in zaradi sile  $X_1 = 1$ .



Slika 5.147: Diagram upogibnih momentov zaradi linijske obtežbe  $\mathcal{P}_z$  in zaradi sile  $X_1 = 1$

Koefficenta  $a_{11}$  določimo na osnovi diagrama  $\bar{M}_{y1}$  (slika 5.147)

$$a_{11} = \frac{1}{E I_y} \frac{5}{4} \cdot \frac{5\sqrt{2}}{2} \cdot \frac{1}{2} \cdot \frac{2}{3} \cdot \frac{5}{4} \cdot 4 = \frac{125\sqrt{2}}{24 E I_y} \cong \frac{7.366}{E I_y}.$$

Za račun koefficenta  $b_1$  potrebujemo lego težišč polovice kvadratne parabole  $x_T = 5a/8$  (glej preglednico 1.1) ter velikost  $\bar{M}_{y1}$  pri  $x_T$ :

$$x_T = \frac{5a}{8} = \frac{5 \cdot 5\sqrt{2}}{8 \cdot 2} = \frac{25\sqrt{2}}{16} \cong 2.210 \text{ m}, \quad \bar{M}_{y1}(x_T) = \frac{25\sqrt{2} \cdot 5 \cdot 2}{16 \cdot 4 \cdot 5\sqrt{2}} = \frac{25}{32} \cong 0.781 \text{ kNm}?$$

Tako izračunamo še  $b_1$ :

$$b_1 = \frac{1}{E I_y} \frac{5\sqrt{2}}{2} \cdot \frac{5\sqrt{2}}{2} \cdot \frac{2}{3} \cdot \frac{25}{32} \cdot 4 = \frac{525}{24 E I_y} \cong \frac{26.04}{E I_y}.$$

Sila v škarjah  $DE$  je enaka

$$X_1 = -\frac{b_1}{a_{11}} = -\frac{225.24}{24 \cdot 125\sqrt{2}} = -\frac{5\sqrt{2}}{2} \cong -3.536 \text{ kN}.$$

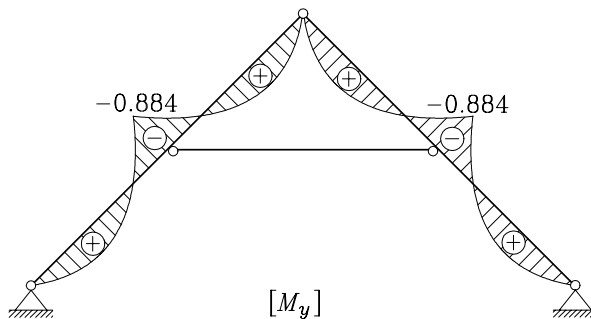
Za račun diagrama upogibnih momentov na statično nedoločeni konstrukciji upoštevamo princip superpozicije – seštejemo momente od zunanje obtežbe  $\mathcal{P}_z$  in od sile  $X_1$ . Upogibni moment  $M_{Dy}$  in  $M_{Ey}$  izračunamo takole:

$$M_{Dy} = M_{Ey} = 3.536 + 1.25 \cdot (-3.536) = -0.884 \text{ kNm}.$$

Če upoštevamo, da je moment  $\bar{M}_{y1}$  na četrini in na treh četrtinah špirovca enak 0.625, moment zaradi  $\mathcal{P}_z$  pa 2.652 kNm, dobimo še  $M_y$  v teh točkah:

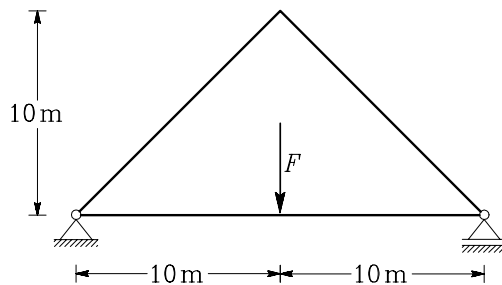
$$M_y = 2.652 + 0.625 \cdot (-3.536) = 0.442 \text{ kNm}.$$

Diagram upogibnih momentov statično nedoločene konstrukcije prikazujemo na sliki 5.148.



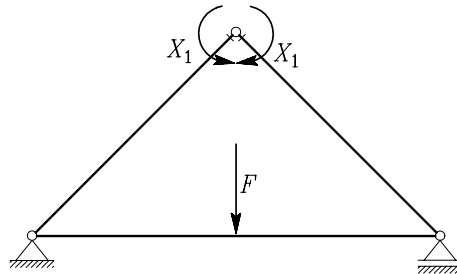
Slika 5.148: Diagram upogibnih momentov statično nedoločenega trikotnega vešala

**Primer 5.37** Izračunajmo notranje sile v konstrukciji na sliki 5.149! Upoštevajmo tudi vpliv osnih sil na pomike. Sila  $F$  je enaka 10 kN.



Slika 5.149: Enkrat statično nedoločena konstrukcija

Konstrukcija je enkrat statično nedoločena ( $n = 2 + 1 + 2(2 - 1) \cdot 2 - 2 \cdot 3 = 1$ ). Izberemo osnovno konstrukcijo tako, da sprostimo medsebojna zasuka na vrhu konstrukcije (slika 5.150).



Slika 5.150: Osnovna konstrukcija

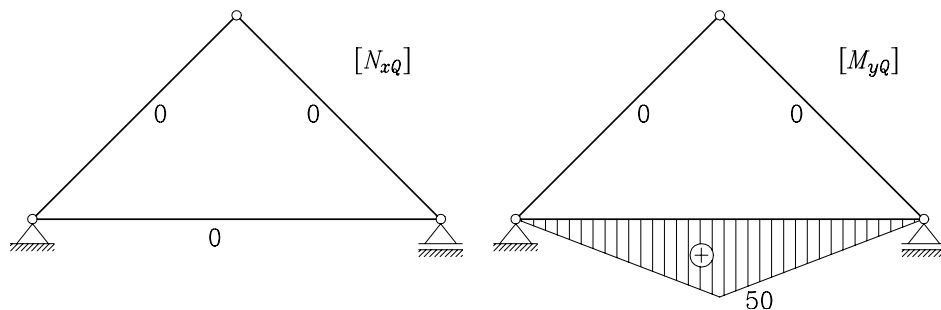
Neznano silo  $X_1$  izračunamo iz kinematičnega pogoja

$$a_{11} X_1 + b_1 = 0.$$

Koeficiente  $a_{11}$  in  $b_1$  določimo po enačbah

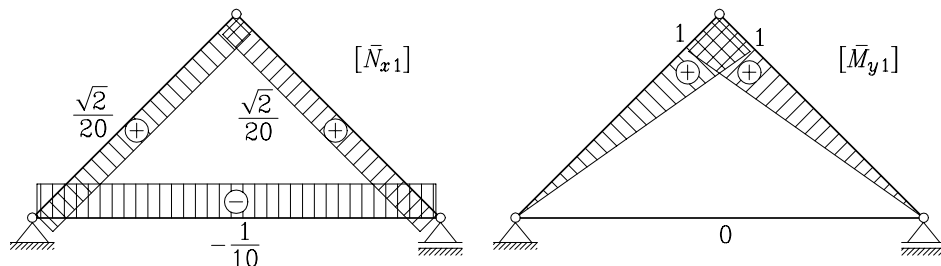
$$a_{11} = \sum_{\text{el}} \int_0^L \left( \frac{\bar{N}_{x1} \bar{N}_{x1}}{E A_x} + \frac{\bar{M}_{y1} \bar{M}_{y1}}{E I_y} \right) dx, \quad b_1 = \sum_{\text{el}} \int_0^L \left( \frac{\bar{N}_{x1} N_{xQ}}{E A_x} + \frac{\bar{M}_{y1} M_{yQ}}{E I_y} \right) dx.$$

Na sliki 5.151 prikazujemo notranje sile na osnovni konstrukciji zaradi sile  $F$ . Prečnih sil ne upoštevamo, osne sile so enake nič.



Slika 5.151: Notranje sile zaradi sile  $F$  na osnovni konstrukciji

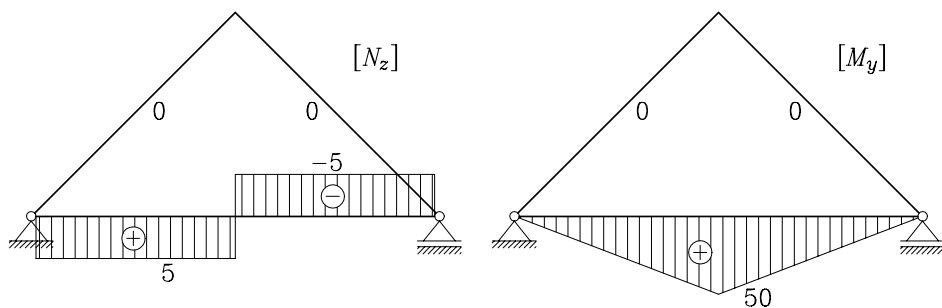
Na sliki 5.152 prikazujemo notranje sile na osnovni konstrukciji zaradi momenta  $X_1 = 1$ .



Slika 5.152: Osna sila in upogibni moment zaradi momenta  $X_1 = 1$  na osnovni konstrukciji

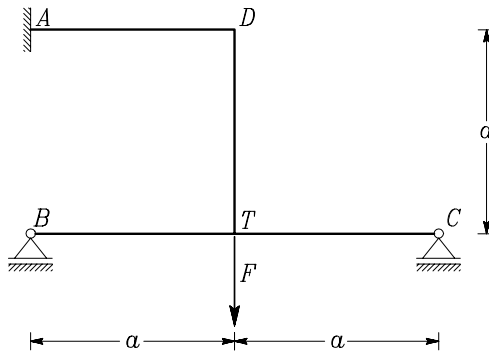
Iz diagramov na slikah 5.151 in 5.152 sledi, da je koeficient  $a_{11}$  različen od nič,  $b_1$  pa enak nič. To pomeni, da je moment  $X_1$  enak nič. Diagrame notranjih sil na statično nedoločeni konstrukciji prikazujemo na sliki 5.153.

Ker so po linearji teoriji elastičnosti vzdolžni in prečni pomiki v nosilcu med seboj neodvisni, povzroči navpična sila na vodoravnemu elementu le navpične pomike. Razdalja med podporama  $A$  in  $B$  se ne spremeni in so zato notranje sile v zgornjem nosilcu enake nič.



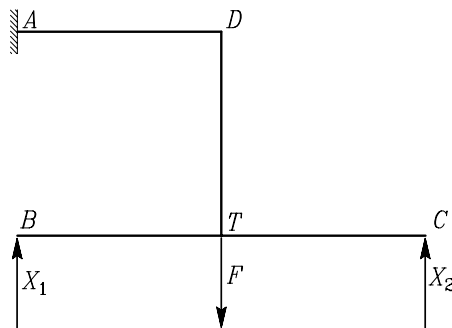
Slika 5.153: Od nič sta različna le prečna sila in upogibni moment v vodoravnem nosilcu

**Primer 5.38** Za konstrukcijo na sliki 5.154 določimo navpični pomik točke T! Togost elementov konstrukcije je za vse elemente enaka  $EI_y = \text{konst}$ . Konstrukcija je obtežena le s točkovno silo F v točki T.



Slika 5.154: Geometrija in obtežba

Stopnja statične nedoločenosti je  $n = 2$  ( $n = 3 + 1 + 1 - 3 \cdot 2$ ). Osnovno konstrukcijo izberemo tako, da odstranimo podpori B in C (slika 5.155).



Slika 5.155: Osnovna konstrukcija

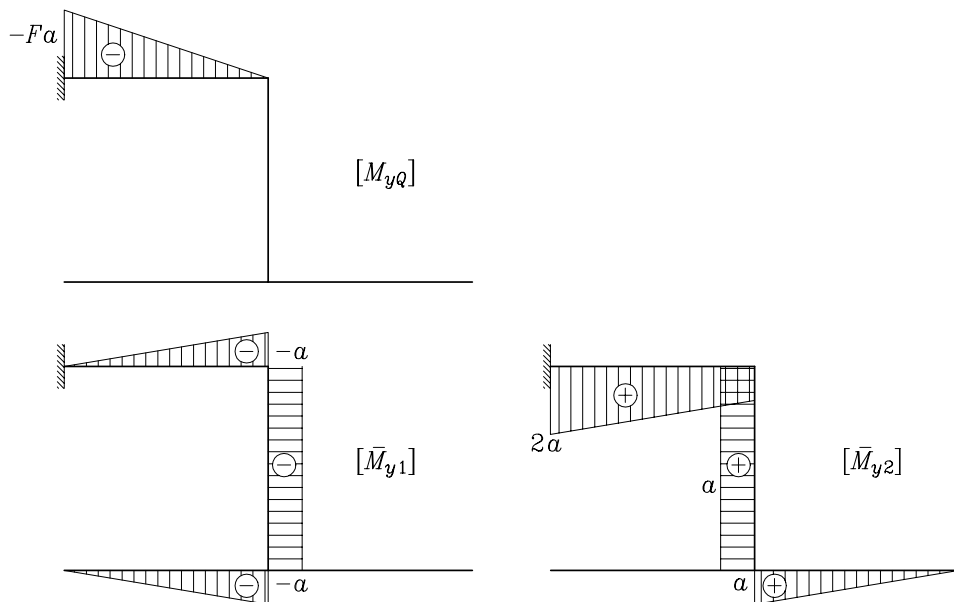
Kinematična pogoja sta:

$$\begin{aligned} a_{11}X_1 + a_{12}X_2 + b_1 &= 0, \\ a_{21}X_1 + a_{22}X_2 + b_2 &= 0. \end{aligned}$$

Pri računu pomika točke  $T$  zanemarimo vpliv osnih sil, zato ta pomik določimo po enačbi

$$w_T = \sum_{el} \int_0^L \frac{M_y^{nk} \bar{M}_{yF}}{EI_y} dx.$$

Diagrami upogibnega momenta zaradi zunanje obtežbe in zaradi sil  $X_1 = 1$  in  $X_2 = 1$  so prikazani na sliki 5.156.



Slika 5.156: Upogibni moment zaradi sile  $F$  ter sil  $X_1$  in  $X_2$

Koeficiente  $a_{ij}$  in  $b_i$  določimo iz diagramov na 5.156:

$$EI_y a_{11} = \frac{aa}{2} \frac{2}{3} a \cdot 2 + a^3 = \frac{5}{3} a^3,$$

$$EI_y a_{22} = \frac{aa}{2} \frac{2}{3} a + a^3 + \frac{aa}{2} \left( \frac{2}{3} a + \frac{1}{3} 2 a \right) + \frac{2aa}{2} \left( \frac{2}{3} 2 a + \frac{a}{3} \right) = \frac{11}{3} a^3,$$

$$EI_y a_{12} = -\frac{a^2}{2} \left( \frac{2}{3} a + \frac{1}{3} 2 a \right) - a^3 = -\frac{5}{3} a^3,$$

$$\begin{aligned} EI_y b_1 &= \frac{Fa a a}{2} \frac{a}{3} = \frac{Fa^3}{6}, \\ EI_y b_2 &= \frac{Fa^2}{2} \left( \frac{a}{3} + \frac{2}{3} 2a \right) = -\frac{5Fa^3}{6}. \end{aligned}$$

Rešitev sistema kinematičnih enačb

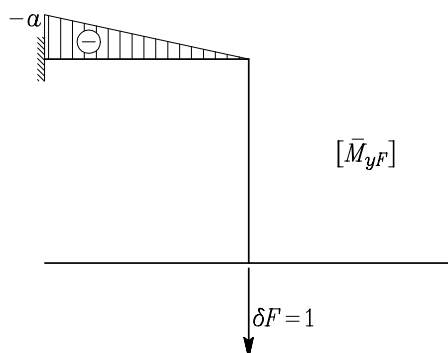
$$\begin{bmatrix} \frac{5a^3}{3} & -\frac{5a^3}{3} \\ -\frac{5a^3}{3} & \frac{11a^3}{3} \end{bmatrix} \begin{bmatrix} X_1 \\ X_2 \end{bmatrix} = \begin{bmatrix} -\frac{Fa^3}{6} \\ \frac{5Fa^3}{6} \end{bmatrix} \quad \rightarrow \quad \begin{bmatrix} 10 & -10 \\ -10 & 22 \end{bmatrix} \begin{bmatrix} X_1 \\ X_2 \end{bmatrix} = \begin{bmatrix} -F \\ 5F \end{bmatrix}$$

je

$$X_1 = \frac{7F}{30}, \quad X_2 = \frac{F}{3}.$$

### Določitev pomika $w_T$

Osnovno konstrukcijo obtežimo z virtualno silo  $\delta F = 1$  na mestu in v smeri iskanega pomika. Upogibni moment na osnovni konstrukciji zaradi sile  $\delta F = 1$  prikazujemo na sliki 5.157.



Slika 5.157: Upogibni moment zaradi sile  $\delta F = 1.0$

Upoštevamo, da je

$$M_y^{nk} = M_{yQ} + X_1 \bar{M}_{y1} + X_2 \bar{M}_{y2}$$

in da je  $\bar{M}_{yF}$  različen od nič le v zgornjem vodoravnem elementu

$$w_T = \int_0^a \frac{M_{yQ} \bar{M}_{yF}}{EI_y} dx + X_1 \int_0^a \frac{\bar{M}_{y1} \bar{M}_{yF}}{EI_y} dx + X_2 \int_0^a \frac{\bar{M}_{y2} \bar{M}_{yF}}{EI_y} dx.$$

Te integrale izračunamo na osnovi diagramov na slikah 5.156 in 5.157

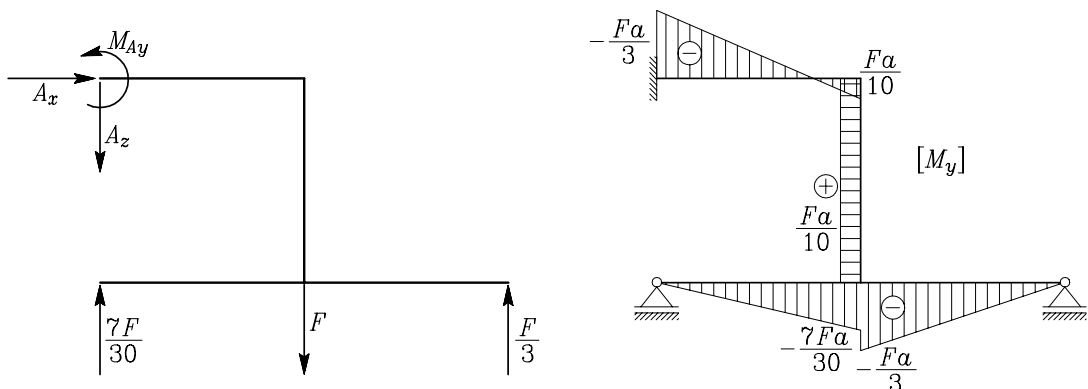
$$\begin{aligned} w_T &= \frac{1}{EI_y} \left[ \frac{Fa a 2}{2} \frac{2}{3} a + X_1 \frac{a a 1}{2} \frac{1}{3} a - X_2 \frac{a a}{2} \left( \frac{2}{3} 2a + \frac{1}{3} a \right) \right] = \\ &= \frac{1}{EI_y} \left( \frac{Fa^3}{3} + \frac{7F}{30} \frac{a^3}{6} - \frac{F}{3} \frac{5a^3}{6} \right) = \frac{17Fa^3}{180EI_y}. \end{aligned}$$

Na koncu izračunamo še reakcije in prikažemo potek momentov v statično nedoločeni konstrukciji (slika 5.158). Pri določitvi reakcij in upogibnih momentov upoštevamo princip superpozicije

$$A_x = 0,$$

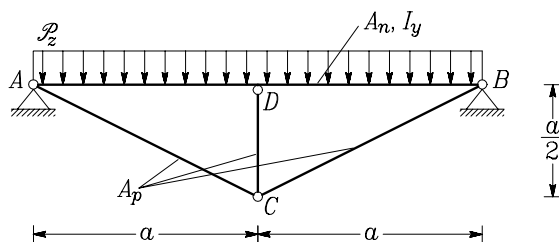
$$A_z = -F + \frac{7F}{30} + \frac{F}{3} = -\frac{13F}{30},$$

$$M_{Ay} = Fa - 2a \frac{F}{3} = \frac{Fa}{3}.$$



Slika 5.158: Reakcije in upogibni moment na statično nedoločeni konstrukciji

**Primer 5.39** Izračunajmo notranje sile ter navpični pomik točke C za konstrukcijo na sliki 5.159! Velikost linijske obtežbe  $\mathcal{P}_z$  je 0.088 MN/m, razdalja a je 4 m, modul elastičnosti materiala E je 200000 MPa, vztrajnostni moment  $I_y$  nosilca je 0.000533 m<sup>4</sup>, ploščina prečnega prereza  $A_n$  je 0.05 m<sup>2</sup>, ploščina  $A_p$  prečnega prereza palic pa je 0.005559 m<sup>2</sup>.

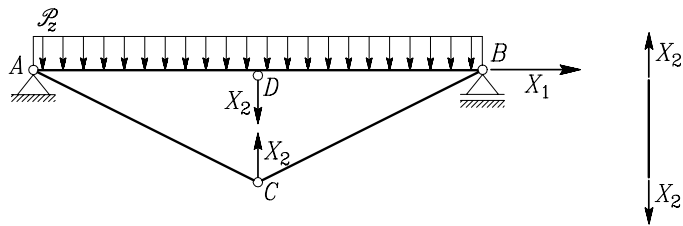


Slika 5.159: Konstrukcija je sestavljena iz nosilca in treh palic

Konstrukcija je dvakrat statično nedoločena. Stopnjo statične nedoločenosti izračunamo po enačbi

$$n = (2+2) + 2(3-1) + 2(2-1) \cdot 3 - 3 \cdot 4 = 2.$$

Osnovno konstrukcijo lahko izberemo tako, da sprostimo vodoravni pomik v podpori B in iz konstrukcije izrežemo navpično palico (slika 5.160).



Slika 5.160: Osnovno konstrukcijo izberemo tako, da dobimo statično določeno konstrukcijo

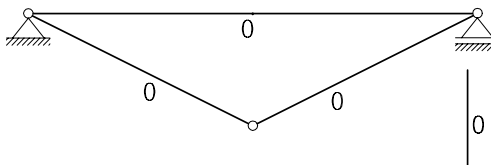
Neznani sili  $X_1$  in  $X_2$  izračunamo iz kinematičnih pogojev

$$a_{11}X_1 + a_{12}X_2 + b_1 = 0,$$

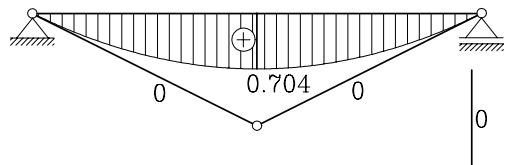
$$a_{21}X_1 + a_{22}X_2 + b_2 = 0.$$

Na sliki 5.161 prikazujemo osno silo in upogibni moment zaradi linijske obtežbe  $\mathcal{P}_z$  ter zaradi sil  $X_1 = 1$  in  $X_2 = 1$ .

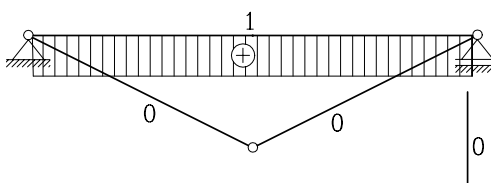
$[N_{xQ}]$



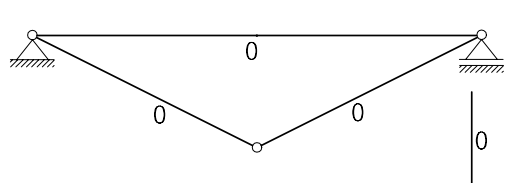
$[M_{yQ}]$



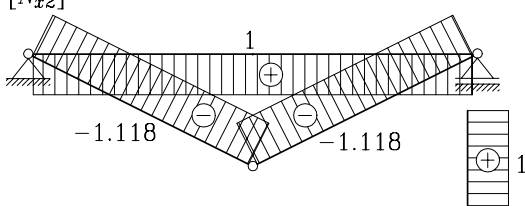
$[\bar{N}_{x1}]$



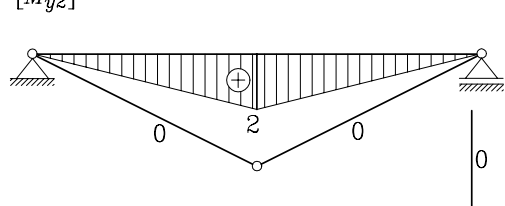
$[\bar{M}_{y1}]$



$[\bar{N}_{x2}]$



$[\bar{M}_{y2}]$



Slika 5.161: Notranje sile na osnovni konstrukciji



Koeficienti  $a_{11}$ ,  $a_{12}$ ,  $A_{22}$ ,  $b_1$  in  $b_2$ :

$$E a_{11} = \frac{1}{A_n} 8 \cdot 1 \cdot 1 = \frac{8}{0.05} = 160,$$

$$E a_{12} = \frac{1}{0.05} 8 \cdot 1 \cdot 1 = 160 = E a_{21},$$

$$E a_{22} = \frac{1}{0.05} 8 \cdot 1 \cdot 1 + \frac{1}{5.559 \cdot 10^{-3}} (1.118^2 \cdot 4.472 \cdot 2 + 2 \cdot 1 \cdot 1) + \frac{1}{5.33 \cdot 10^{-4}} \frac{2 \cdot 4}{2} \cdot \frac{2}{3} 2 \cdot 2 = \\ = 22543.5,$$

$$E b_1 = 0,$$

$$E b_2 = \frac{1}{I_y} \cdot 0.704 \cdot 4 \cdot \frac{2}{3} 1.25 \cdot 2 = 8805.5.$$

Upoštevali smo, da je  $l_p = \sqrt{4^2 + 2^2} = \sqrt{20} = 4.472$  m, in da je moment na sredini nosilca zaradi enakomerne linijske obtežbe enak  $\mathcal{P}_z (2a)^2 / 8 = 0.704$  MNm. Izračunali smo še  $M_{y2}$  pod težiščem  $x = 5 \cdot 4 / 8 = 2.5$  polovice kvadratne parabole:  $M_{y2} = 2 \cdot 2.5 / 4 = 1.25$ . Rešitev sistema enačb

$$160 X_1 + 160 X_2 = 0,$$

$$160 X_1 + 22543.5 X_2 + 8805.5 = 0$$

je

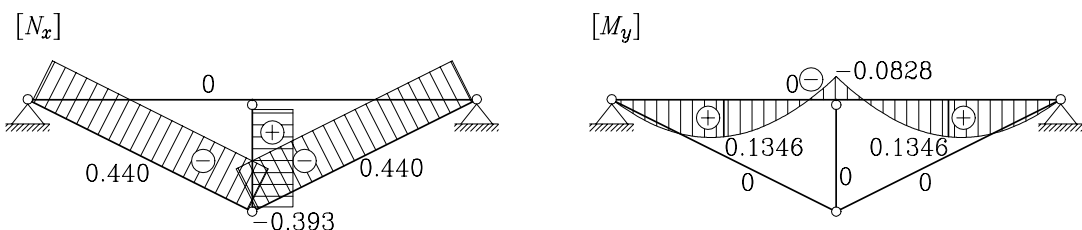
$$X_1 = 0.3934 \text{ MN}, \quad X_2 = -0.3934 \text{ MN}.$$

### Diagrami notranjih sil

Z upoštevanjem principa superpozicije lahko določimo diagrama osne sile in upogibnega momenta (slika 5.162). Vrednost upogibnega momenta v nosilcu izračunajmo pri  $x = 2$  m,  $x = 4$  m in  $x = 6$  m:

$$M_y(2) = M_y(6) = 0.528 - 0.3934 \cdot 1 = 0.1346 \text{ MNm},$$

$$M_y(4) = M_{yC} = 0.704 - 0.3934 \cdot 2 = -0.0828 \text{ MNm}.$$



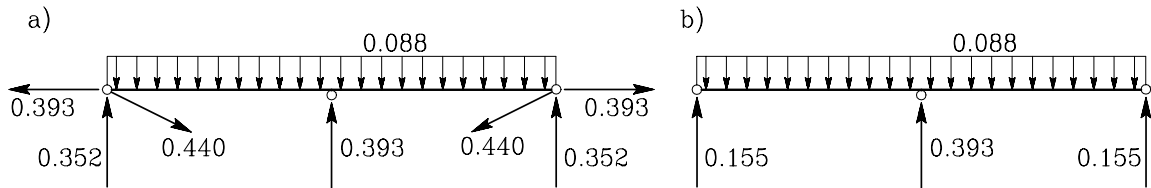
Slika 5.162: Diagrama osne sile in upogibnega momenta na statično nedoločeni konstrukciji

Za račun prečnih sil v nosilcu izračunamo reakcije statično nedoločene konstrukcije tako, da na osnovno konstrukcijo postavimo razen podane linijske obtežbe  $\mathcal{P}_z$  še sili  $X_1$  in  $X_2$ . Reakcije izračunamo iz

ravnotežnih pogojev in dobimo

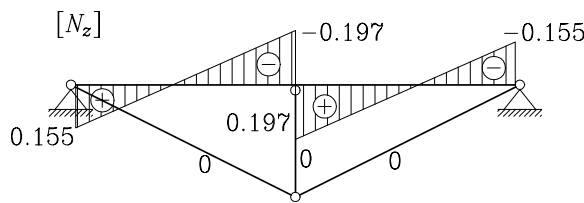
$$A_x = -0.3934 \text{ MN}, \quad A_z = -0.352 \text{ MN}, \quad B_z = -0.352 \text{ MN}.$$

Sile, ki delujejo na nosilec, prikazujemo na sliki 5.163a. Podobno prikazujemo tudi na sliki 5.163b, s tem, da na obih krajnih podporah narišemo rezultanto vseh treh sil, ki na ti vozlišči delujejo.



Slika 5.163: Sile, ki delujejo na nosilec

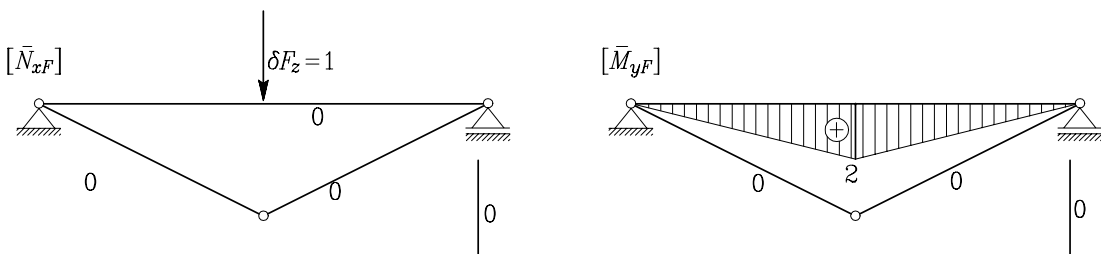
Potek prečne sile v vodoravnem nosilcu prikazujemo na sliki 5.164a.



Slika 5.164: Diagram prečne sile

### Račun pomika točke C

Na sliki 5.165 prikazujemo notranje sile na osnovni konstrukciji zaradi virtualne sile  $\delta F_z = 1$ .



Slika 5.165: Diagrama osne sile in upogibnega momenta zaradi sile  $\delta F_z = 1$

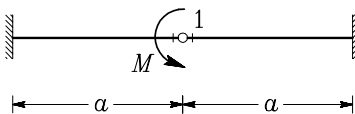
Pomik  $w_C$  izračunamo po enačbi, saj so osne sile enake nič, vpliv prečnih sil pa zanemarimo

$$w_C = \sum_{\text{el}} \int_0^L \frac{\bar{M}_{yF} M_y^{nk}}{E I_y} dx.$$

Upoštevamo sliko 5.162 in sliko 5.165 ter dobimo:

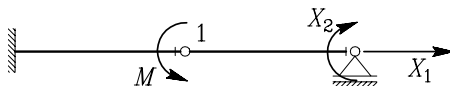
$$w_C = \frac{2}{EI_y} \left( 0.704 \cdot 4 \cdot \frac{2}{3} 1.25 + \frac{4 \cdot 2 X_2}{2} \cdot \frac{2}{3} 2 \right) = 0.00466 \text{ m.}$$

**Primer 5.40** Določimo reakcije, diagrame notranjih sil za konstrukcijo na sliki 5.166 in zasuk osi nosilca v točki 1 tik desno od členka! Razdalja  $a$  je enaka 100 cm, elastični modul  $E$  ter ploščina  $A_x$  in vztrajnostni moment  $I_y$  prečnega prereza so konstantne. Upoštevajmo tudi vpliv osnih sil na pomike, vpliv prečnih sil pa zanemarimo.



Slika 5.166: Moment deluje na element tik levo od členka

Konstrukcija je dvakrat statično nedoločena  $n = 3 + 3 + 2(2 - 1) - 2 \cdot 3 = 2$ . Osnovno konstrukcijo izberemo tako, da v desni podpori sprostimo vodoravni pomik in zasuk (slika 5.167).

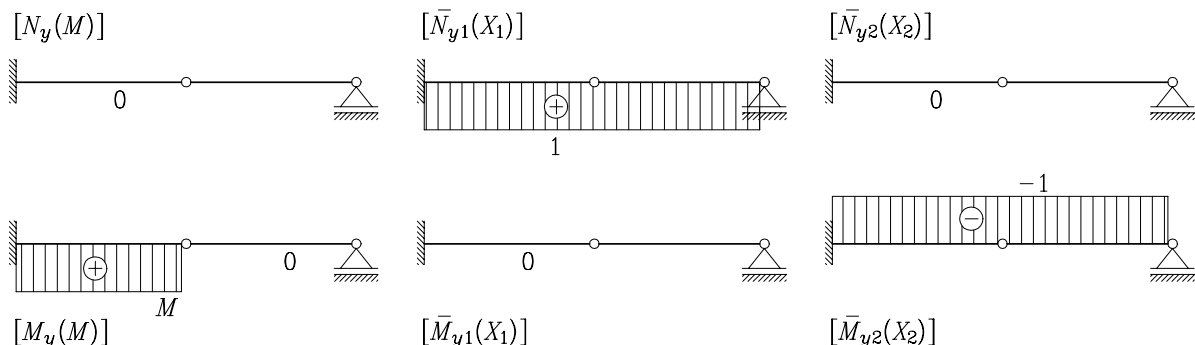


Slika 5.167: Osnovno konstrukcijo izberemo tako, da v desni podpori dovolimo dve prostostni stopnji gibanja

Neznani sili  $X_1$  in  $X_2$  izračunamo iz kinematičnih pogojev

$$\begin{aligned} a_{11}X_1 + a_{12}X_2 + b_1 &= 0, \\ a_{21}X_1 + a_{22}X_2 + b_2 &= 0. \end{aligned}$$

Na sliki 5.168 prikazujemo notranje sile zaradi momenta  $M$ , zaradi sile  $X_1 = 1$  in momenta  $X_2 = 1$ .



Slika 5.168: Notranje sile na osnovni konstrukciji

Koeficiente  $a_{11}$ ,  $a_{12}$ ,  $a_{22}$ ,  $b_1$  in  $b_2$  izračunamo na osnovi diagramov s slike 5.168

$$a_{11} = \frac{1}{E A_x} 2a \cdot 1 \cdot 1 = \frac{2a}{E A_x}, \quad a_{22} = \frac{1}{E I_y} \frac{a}{2} \frac{2}{3} \cdot 1 \cdot 2 = \frac{2a}{3 E I_y}, \quad a_{12} = 0.$$

$$b_1 = 0, \quad b_2 = \frac{1}{E I_y} M a \cdot \frac{1}{2} = \frac{M a}{2 E I_y}.$$

Koeficiente vstavimo v kinematični enačbi

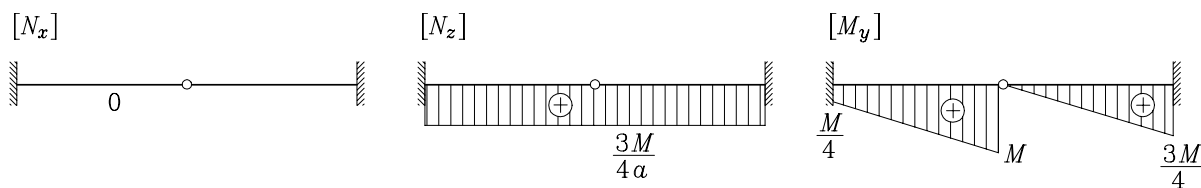
$$\begin{bmatrix} \frac{2a}{E A_x} & 0 \\ 0 & \frac{2a}{3 E I_y} \end{bmatrix} \begin{bmatrix} X_1 \\ X_2 \end{bmatrix} = \begin{bmatrix} 0 \\ -\frac{M a}{2 E I_y} \end{bmatrix}$$

in ju rešimo. Tako dobimo

$$X_1 = 0, \quad X_2 = -\frac{3M}{4}.$$

Če vpliva osnih sil ne upoštevamo, sile  $X_1$  ne moremo izračunati, ker je prva izmed kinematičnih enačb identično izpolnjena ( $a_{11} = a_{12} = b_1 = 0$ ). Reakcije in notranje sile izračunamo z upoštevanjem principa superpozicije (slika 5.169)

$$A_x = 0, \quad A_z = -\frac{3M}{4a}, \quad M_A = -\frac{M}{4}, \quad B_z = \frac{3M}{4a}.$$

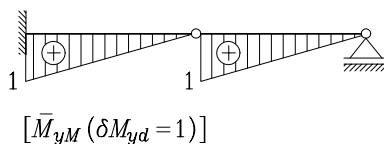


Slika 5.169: Reakcije in notranje sile na statično nedoločeni konstrukciji

Pri določanju zasuka  $\omega_{1d}$  upoštevamo, da so osne sile na statično nedoločeni konstrukciji enake nič ( $N_x^{nk} = 0$ ). Zanemarimo tudi vpliv prečnih sil. Zasuk statično nedoločene konstrukcije računamo po enačbi

$$\omega_{1d} = \sum_{el} \int_0^L \frac{\bar{M}_{yM} M_y^{nk}}{E I_y} dx.$$

Potrebujemo notranje sile na osnovni konstrukciji zaradi virtualnega momenta  $\delta M_{yd} = 1$ , ki deluje na element tik desno od člena. Diagram upogibnih momentov prikazujemo na sliki 5.170.

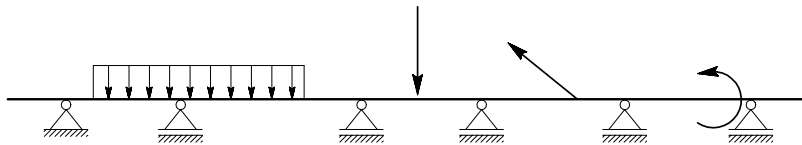


Slika 5.170: Diagram upogibnega momenta zaradi virtualnega momenta  $\delta M_{yd} = 1$

Zasuk  $\omega_{1d}$  je enak:

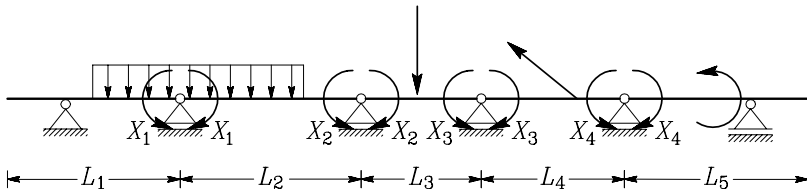
$$\omega_{1d} = \frac{1}{EI_y} \left( \frac{3M}{4} \frac{a}{2} \frac{1}{3} + \frac{M}{4} a \frac{1}{2} + \frac{3M}{4} \frac{a}{2} \frac{1}{3} \right) = \frac{3Ma}{8EI_y}.$$

**Primer 5.41** Določimo kinematične pogoje za kontinuirni nosilec, podprt s šestimi podporami (slika 5.171). Modul elastičnosti  $E$  in prečni prerez se vzdolž osi nosilca ne spreminja.



Slika 5.171: Na kontinuirni nosilec deluje poljubna obtežba

Primer na sliki 5.171 je štirikrat statično nedoločena konstrukcija ( $n = 4$ ). Osnovno konstrukcijo lahko izberemo tako, da na mestu vmesnih podpor v nosilec vstavimo členke, ki dovolijo medsebojni zasuk okrog osi  $y$  (slika 5.172).



Slika 5.172: Osnovna konstrukcija in neznani momenti  $X_i$ , ( $i = 1, \dots, n$ )

Kinematični pogoj za vozlišče  $i$  zapišemo z enačbo

$$\sum_{j=1}^n a_{ij} X_j + b_i = \Delta\omega_i = 0.$$

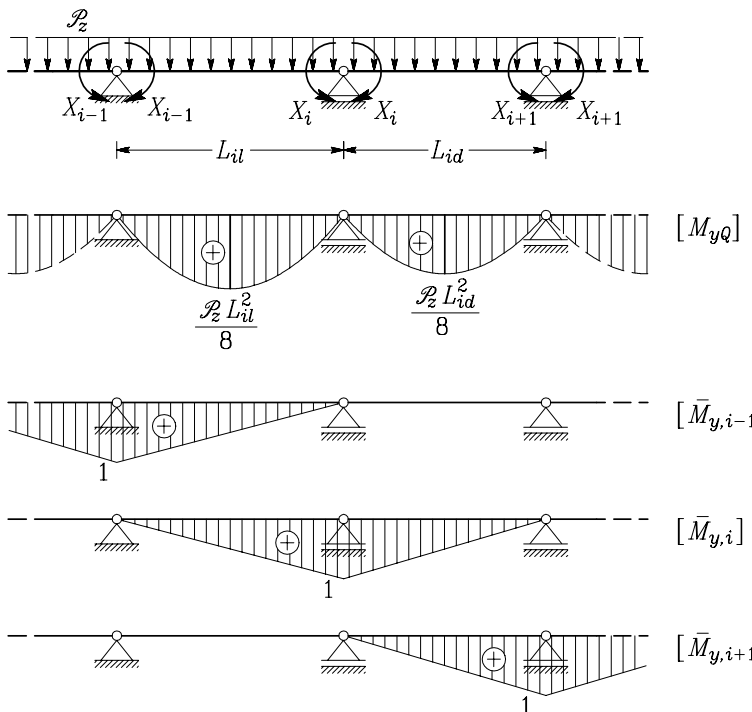
Ob tako izbrani osnovni konstrukciji vplivajo na medsebojni zasuk v točki  $i$  le momenti  $X_{i-1}$ ,  $X_i$  in  $X_{i+1}$  ter zunanjia obtežba v poljih levo in desno od podpore  $i$ . Zato za podporo  $i$  velja:

$$i : a_{i,i-1} X_{i-1} + a_{ii} X_i + a_{i,i+1} X_{i+1} + b_i(L_{i-1}, L_i) = 0.$$

V matrični obliki lahko kinematične pogoje zapišemo takole:

$$\begin{bmatrix} a_{11} & a_{12} & 0 & & \cdots & 0 \\ a_{21} & a_{22} & a_{23} & 0 & \cdots & 0 \\ 0 & a_{32} & a_{33} & a_{34} & 0 & \cdots & 0 \\ & & & \ddots & & \vdots & \\ 0 & \cdots & 0 & a_{i,i-1} & a_{ii} & a_{i,i+1} & 0 \\ & & & \vdots & & \ddots & \\ 0 & & & \cdots & 0 & a_{n,n-1} & a_{nn} \end{bmatrix} \begin{bmatrix} X_1 \\ X_2 \\ X_3 \\ \vdots \\ X_i \\ \vdots \\ X_n \end{bmatrix} = - \begin{bmatrix} b_1 \\ b_2 \\ b_3 \\ \vdots \\ b_i \\ \vdots \\ b_n \end{bmatrix}.$$

Zadnja enačba je trimomentna ali Clapeyronova enačba. Zapišimo trimomentno enačbo za primer, ko na celotno dolžino nosilca deluje konstantna linijska obtežba  $\mathcal{P}_z$  (slika 5.173).



Slika 5.173: Na medsebojni zasuk v  $i$  vpliva le obtežba v poljih levo in desno od te točke

Koeficiente  $a_{i,i-1}$ ,  $a_{i,i}$ ,  $a_{i,i+1}$  in  $b_i$  izračunamo iz enačb:

$$a_{ij} = \sum_{\text{el}} \int_0^L \frac{\bar{M}_{yi} \bar{M}_{yj}}{E I_y} dx, \quad b_i = \sum_{\text{el}} \int_0^L \frac{\bar{M}_{yi} M_{yQ}}{E I_y} dx.$$

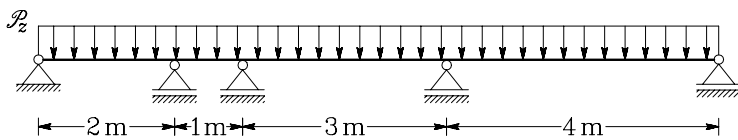
Tako dobimo:

$$\begin{aligned} EI_y b_i &= \frac{\mathcal{P}_z L_{il}^2}{8} \frac{2}{3} L_{il} \frac{1}{2} + \frac{\mathcal{P}_z L_{id}^2}{8} \frac{2}{3} L_{id} \frac{1}{2} = \frac{\mathcal{P}_z}{24} (L_{il}^3 + L_{id}^3), \\ EI_y a_{i,i-1} &= 1 \cdot L_{il} \frac{1}{2} \frac{1}{3} = \frac{L_{il}}{6}, \\ EI_y a_{i,i} &= L_{il} \frac{1}{2} \frac{2}{3} + L_{id} \frac{1}{2} \frac{2}{3} = \frac{1}{3} (L_{il} + L_{id}), \\ EI_y a_{i,i+1} &= 1 \cdot L_{id} \frac{1}{2} \frac{1}{3} = \frac{L_{id}}{6}, \end{aligned}$$

Koeficiente vstavimo v trimomentno enačbo in dobimo kinematični pogoj za točko  $i$ :

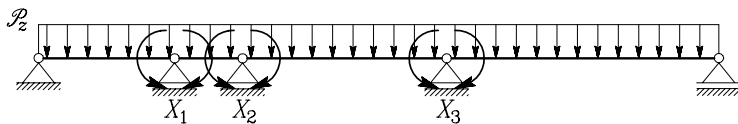
$$4 L_{il} X_{il} + 8 (L_{i-1} + L_i) X_i + 4 L_{id} X_{i+1} = -\mathcal{P}_z (L_{il}^3 + L_{id}^3).$$

**Primer 5.42** Določimo reakcije ter potek notranjih sil za neprekinjeni nosilec na sliki 5.174! Velikost linijske obtežbe  $\mathcal{P}_z$  je 40 kN/m.



Slika 5.174: Nosilec poteka preko štirih polj in je obtežen s konstantno linijsko obtežbo

Konstrukcija je trikrat statično nedoločena. Na sliki 5.175 prikazujemo osnovno konstrukcijo.



Slika 5.175: Osnovna konstrukcija kontinuirnega nosilca preko štirih polj

Kinematične enačbe za vmesne podpore zapišemo takole:

$$\begin{aligned} 8(2+1) \cdot X_1 + 4 \cdot 1 \cdot X_2 &= -40(2^3 + 1^3), \\ 4 \cdot 1 \cdot X_1 + 8(1+3) \cdot X_2 + 4 \cdot 3 \cdot X_3 &= -40(1^3 + 3^3), \\ 4 \cdot 3 \cdot X_2 + 8(3+4) \cdot X_3 &= -40(3^3 + 4^3). \end{aligned}$$

Enačbe delimo s štiri in zapišemo v matrični obliki:

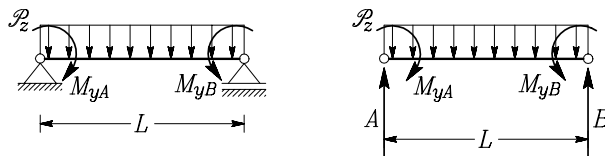
$$\begin{bmatrix} 6 & 1 & 0 \\ 1 & 8 & 3 \\ 0 & 3 & 14 \end{bmatrix} \begin{bmatrix} X_1 \\ X_2 \\ X_3 \end{bmatrix} = \begin{bmatrix} -90 \\ -280 \\ -910 \end{bmatrix}.$$

Rešitev tega sistema enačb je:

$$X_1 = -13.38 \text{ kNm}, \quad X_2 = -9.74 \text{ kNm}, \quad X_3 = -62.91 \text{ kNm}.$$

Vsako polje osnovne konstrukcije lahko obravnavamo kot prostoležeči nosilec, obtežen s konstantno obtežbo  $\mathcal{P}_z$  v polju in točkovnima momentoma  $M_{yA}$  in  $M_{yB}$  v krajiščih (slika 5.176). Reakciji  $A$  in  $B$  izračunamo po ravnotežnih enačbah:

$$A = \frac{\mathcal{P}_z L}{2} + \frac{M_{yB} - M_{yA}}{L}, \quad B = \frac{\mathcal{P}_z L}{2} + \frac{M_{yA} - M_{yB}}{L}.$$



Slika 5.176: Obtežba in reakcije enega nosileca

Reakcije  $R_1$  do  $R_4$  izračunamo tako, da seštejemo reakcije za dve sosednji polji

$$R_0 = A_1 = \frac{40 \cdot 2}{2} + \frac{-13.4}{2} = 33.31 \text{ kN},$$

$$R_1 = B_1 + A_2 = \frac{40 \cdot 2}{2} + \frac{13.4}{2} + \frac{40 \cdot 1}{2} + \frac{-9.7 + 13.4}{1} = 70.33 \text{ kN},$$

$$R_2 = B_2 + A_3 = \frac{40 \cdot 1}{2} + \frac{-13.4 + 9.7}{1} + \frac{40 \cdot 3}{2} + \frac{-62.5 + 9.7}{3} = 58.63 \text{ kN},$$

$$R_3 = B_3 + A_4 = \frac{40 \cdot 3}{2} + \frac{-9.7 + 62.5}{3} + \frac{40 \cdot 4}{2} + \frac{62.5}{4} = 173.46 \text{ kN},$$

$$R_4 = B_4 = \frac{40 \cdot 4}{2} + \frac{-62.5}{4} = 64.27 \text{ kN}.$$

Prečne sile izračunamo tako, da kontinuirni nosilec prerežemo tik desno in tik levo ob podpori in zapišemo ravnotežni pogoj za navpično smer. Na ta način zapišemo:

$$N_{z0} = R_0 = 33.31 \text{ kN},$$

$$N_{z1}^l = R_0 - \mathcal{P}_z L_1 = 33.3 - 40 \cdot 2 = -46.69 \text{ kN},$$

$$N_{z1}^d = N_{z1}^l + R_1 = -46.7 + 70.4 = -23.64 \text{ kN},$$

$$N_{z2}^l = N_{z1}^d - \mathcal{P}_z L_2 = 23.7 - 40 \cdot 1 = -16.36 \text{ kN},$$

$$N_{z2}^d = N_{z2}^l + R_2 = -16.3 + 58.7 = 42.27 \text{ kN},$$

$$N_{z3}^l = N_{z2}^d - \mathcal{P}_z L_3 = 42.4 - 40 \cdot 3 = -77.73 \text{ kN},$$

$$N_{z3}^d = N_{z3}^l + R_3 = -77.6 + 173.2 = 95.73 \text{ kN},$$

$$N_{z4}^l = -R_4 = N_{z3}^d - \mathcal{P}_z L_4 = 95.6 - 40 \cdot 4 = -64.27 \text{ kN}.$$



Največje upogibne momente zaradi linijske obtežbe  $\mathcal{P}_z$  pri  $L_i/2$  izračunamo po enačbi  $\mathcal{P}_z L_i^2/8$ :

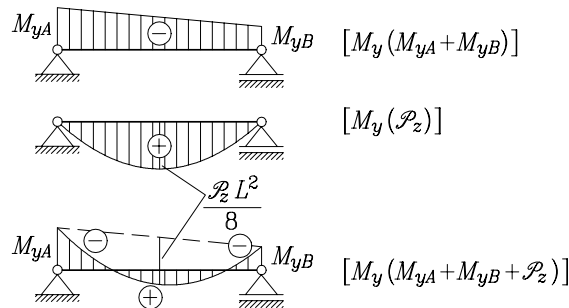
$$\begin{aligned} 0 \leq x \leq 2 \quad M_{yQ} &= \frac{40 \cdot 2^2}{8} = 20 \text{ kNm}, \\ 2 \leq x \leq 3 \quad M_{yQ} &= \frac{40 \cdot 1^2}{8} = 5 \text{ kNm}, \\ 3 \leq x \leq 6 \quad M_{yQ} &= \frac{40 \cdot 3^2}{8} = 45 \text{ kNm}, \\ 6 \leq x \leq 10 \quad M_{yQ} &= \frac{40 \cdot 4^2}{8} = 80 \text{ kNm}. \end{aligned}$$

Pri risanju diagramov upogibnega momenta upoštevamo princip superpozicije tako, da združimo moment zaradi momentov v krajiščih nosilca ter moment zaradi linijske obtežbe (slika 5.177). Na ta način izračunamo tudi vrednosti upogibnega momenta na sredini vsakega nosilca

$$M_y(L/2) = \frac{M_{yA} + M_{yB}}{2} + M_{yQ}.$$

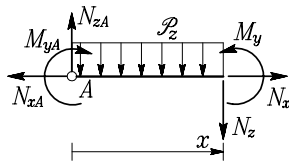
Upogibni momenti na sredini vseh štirih polj so:

$$\begin{aligned} 0 \leq x \leq 2 \quad M_y(L/2) &= -\frac{13.4}{2} + 20 = 13.31 \text{ kNm}, \\ 2 \leq x \leq 3 \quad M_y(L/2) &= -\frac{13.4 + 9.7}{2} + 5 = -6.56 \text{ kNm}, \\ 3 \leq x \leq 6 \quad M_y(L/2) &= -\frac{9.7 + 62.5}{2} + 45 = 8.68 \text{ kNm}, \\ 6 \leq x \leq 10 \quad M_y(L/2) &= -\frac{62.5}{2} + 80 = 48.54 \text{ kNm}. \end{aligned}$$



Slika 5.177: Določanje vrednosti upogibnega momenta zaradi obtežbe  $\mathcal{P}_z$  in momentov na obeh podporah

Izračunajmo še mesto in velikost ekstremne vrednosti upogibnega momenta za vsak nosilec. Prostoležeči nosilec prerežemo nekje v polju in na prerezu predpostavimo notranje sile (slika 5.178).



Slika 5.178: Računski model za račun prečne sile  $N_z$  in upogibnega momenta  $M_y$

Prečna sila in upogibni moment na poljubnem mestu nosilca sta:

$$N_z = N_{zA} - \mathcal{P}_z x, \quad M_y = N_{zA} x + M_{yA} - \frac{\mathcal{P}_z x^2}{2}.$$

Ker v tem primeru nimamo porazdeljene momentne obtežbe, ima upogibni moment ekstremno vrednost, kjer je prečna sila enaka nič. Lega ekstremne vrednosti upogibnega momenta je torej določena z

$$N_z = 0 \quad \rightarrow \quad x_e = \frac{N_{zA}}{\mathcal{P}_z},$$

ekstremna vrednost upogibnega momenta pa z

$$M_{ye} = N_{zA} x_e + M_{yA} - \frac{\mathcal{P}_z x_e^2}{2}.$$

Sedaj izračunajmo še lego in velikost ekstremne vrednosti upogibnega momenta za vsako polje, kjer  $x_e$  predstavlja razdaljo od lege ekstremnega momenta, do najbliže podpore na levi:

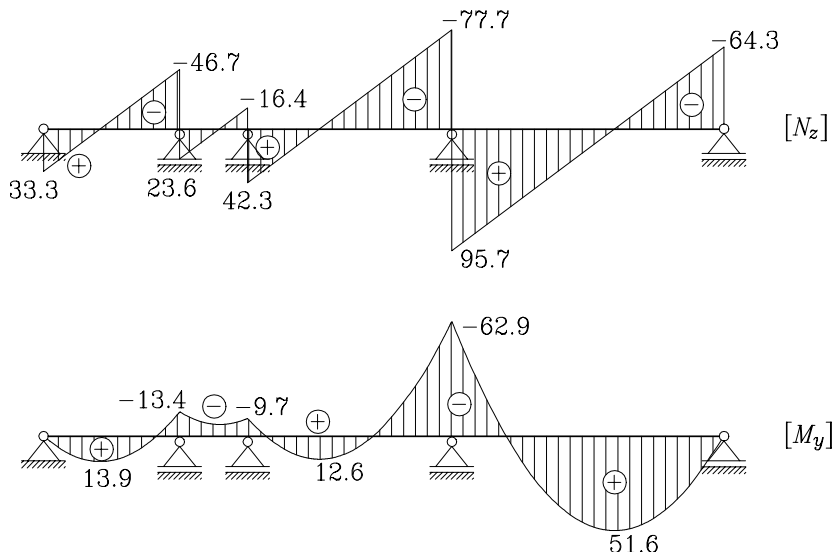
$$0 \leq x \leq 2 \quad x_e = \frac{33.31}{40} = 0.833 \text{ m}, \quad M_{ye} = 33.31 \cdot 0.833 - \frac{40 \cdot 0.833^2}{2} = 13.87 \text{ kNm},$$

$$2 \leq x \leq 3 \quad x_e = \frac{23.64}{40} = 0.591 \text{ m}, \quad M_{ye} = 23.64 \cdot 0.591 - 13.31 - \frac{40 \cdot 0.591^2}{2} = -6.39 \text{ kNm},$$

$$3 \leq x \leq 6 \quad x_e = \frac{42.27}{40} = 1.056 \text{ m}, \quad M_{ye} = 42.27 \cdot 1.056 - 9.74 - \frac{40 \cdot 1.056^2}{2} = 12.60 \text{ kNm},$$

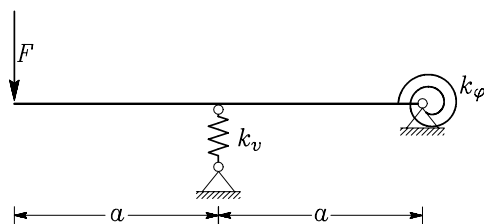
$$x_e = \frac{95.73}{40} = 2.393 \text{ m}, \quad M_{ye} = 95.73 \cdot 2.393 - 62.91 - \frac{40 \cdot 2.393^2}{2} = 51.64 \text{ kNm}.$$

Na sliki 5.179 prikazujemo diagram prečne sile in upogibnega momenta na statično nedoločenem kontinuirnem nosilcu.



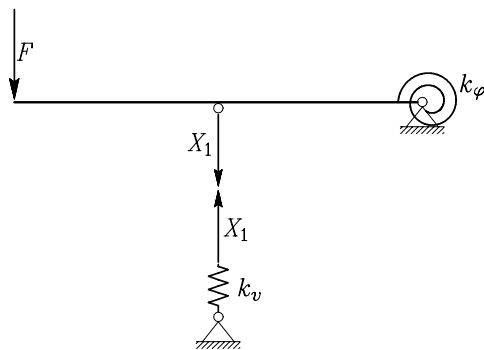
Slika 5.179: Diagram prečne sile in upogibnega momenta za kontinuirni nosilec

**Primer 5.43** Določimo silo in moment v vzmeteh ter diagram upogibnega momenta za konstrukcijo na sliki 5.180! Vzmet je linearno elastična, lastnosti materiala nosilca in njegov prečni prerez se vzdolž osi nosilca ne spreminja. Togost linijske vzmeti je  $k_v$ , togost spiralne vzmeti  $k_\varphi$ , togost nosilca pa je  $E I_y$ .



Slika 5.180: Nosilec je podprt z dvema linearno elastičnima vzmetema

Konstrukcija je enkrat statično nedoločena ( $n = 3 + 1 - 3 = 1$ ). Osnovno konstrukcijo, ki jo izberemo tako, da sprostimo pomik na mestu vzmeti, prikazujemo na sliki 5.181.



Slika 5.181: Za neznano silo izberemo silo v vzmeti

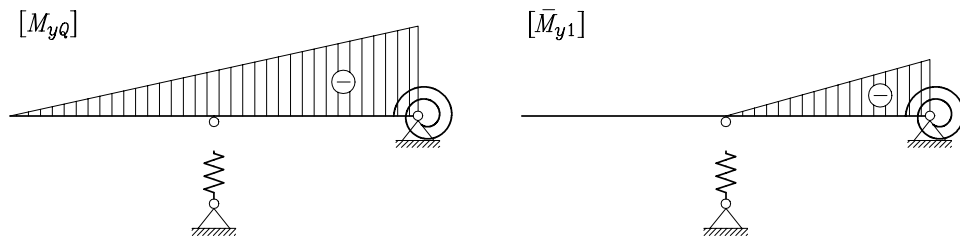
Neznano silo  $X_1$  izračunamo iz kinematičnega pogoja

$$a_{11} X_1 + b_1 = 0.$$

Enačbi za koeficiente  $a_{11}$  in  $b_1$  sta

$$a_{11} = \int_0^L \frac{\bar{M}_{y1} \bar{M}_{y1}}{E I_y} dx + \frac{\bar{N}_v \bar{N}_v}{k_v} + \frac{\bar{M}_v \bar{M}_v}{k_\varphi}, \quad b_1 = \int_0^L \frac{\bar{M}_{y1} M_{yQ}}{E I_y} dx + \frac{\bar{N}_v N_{vQ}}{k_v} + \frac{\bar{M}_v M_{vQ}}{k_\varphi}.$$

Na sliki 5.182 prikazujemo diagrama upogibnega momenta na osnovni konstrukciji zaradi sile  $F$  in zaradi sile  $X_1 = 1$ .

Slika 5.182: Diagrama  $M_{yQ}$  in  $\bar{M}_{y1}$  na osnovni konstrukciji

Notranji sili v vzmeteh zaradi sile  $F$  in zaradi sile  $X_1 = 1$  sta

$$N_{vQ} = 0, \quad M_{vQ} = -2aF, \quad \bar{N}_{v1} = 1, \quad \bar{M}_{v1} = -a.$$

Koeficiente  $a_{11}$  in  $b_1$  sta:

$$a_{11} = \frac{1}{E I_y} \frac{a \cdot a}{2} \frac{2}{3}a + \frac{1}{k_v} + \frac{a^2}{k_\varphi} = \frac{a^3}{3 E I_y} + \frac{1}{k_v} + \frac{a^2}{k_\varphi}$$

in

$$b_1 = \frac{1}{E I_y} \frac{a \cdot a}{2} \left( Fa + \frac{2}{3}Fa \right) + \frac{2a^2 F}{k_\varphi} = \frac{5Fa^3}{6E I_y} + \frac{2Fa^2}{k_\varphi}.$$